

Stirling 公式的数值验证尝试

李洋

导言:

Stirling 公式作为一则近似公式,在统计物理中,计算大数排列组合的近似值时,发挥了重要作用.关于此公式,相关的证明也已完善(见附录三).然而,在一定的数值条件下,Stirling 公式究竟具有何种程度的近似,却是该证明没有涉及的.在物理研究中,能清楚的知道推导过程中,用到的究竟是何种程度的近似,是非常必要的.因此本文将介绍一种利用计算机,应用 C 语言,对 Stirling 公式进行数值验证的方法(或称之为尝试).以期解决上述问题.

Stirling 公式的数值验证尝试

一、大数的表示和存储

Stirling 公式是统计物理中用到的一则关于 $N!$ 的近似公式,其具体形式如下:

$$N! \approx N^N \cdot e^{-N} \cdot \sqrt{2\pi N} \quad (1)$$

不难看出, Stirling 公式左右两侧将随正整数 N 的增加迅速增大.事实上,这也正是应用编程完成对其数值检验的难点所在. C 语言中允许变量赋值范围最大的数据类型为双精度(double)类型,其数值范围约为 $1.7E-308 \sim 1.7E+308$.

经计算:

$$170! = 7.2574E+306 \quad (1)$$

$$143^{143} = 1.6333E+308 \quad (2)$$

$$e^{709} = 8.2184E+307 \quad (3)$$

可以看到如果应用普通的数值计算,由于变量赋值范围的限制, Stirling 公式的验证到 140 左右就不得不停止. 这种限制也广泛存在于 Matlab 等这种成品数值计算程序中.

如果希望继续运算下去,就不得不提出不同于 *将整个数值存入一个变量* 的计算方法.

引入高精度算法就是解决这一问题的方法之一.

高精度算法的核心思想,是将大数拆开,分散存储在多个变量(或称之为数组)中.

| a[9] | a[8] | a[7] | a[6] | a[5] | a[4] | a[3] | a[2] | a[1] | a[0] |
|--------|--------|--------|--------|--------|--------|--------|--------|--------|--------|
| 3 | 4 | 5 | 4 | 8 | 4 | 6 | 8 | 3 | 1 |
| 10^9 | 10^8 | 10^7 | 10^6 | 10^5 | 10^4 | 10^3 | 10^2 | 10^1 | 10^0 |

具体操作就是,定义整型一维数组 $a[N]$,并规定数组中不同元素储存一个大数的不同位. 上图就表示了 3,454,846,831 这一数值. 由于数组在内存中的存储地址是连续的,因此应用指针可以很方便的编写数值读取函数.(但这实际上也是一种相当浪费内存的设法,这将在以后内容中提到)这样一来,只需要定义足够大的数组,就可以获得相对应位数的数. 比如设定 1,000,000 个元素的一维数组,就可以得到 0 到 $9.999^{1000,000}$ 大的数,这远大于双精度类型的变量赋值的范围.

二、运算规则的定义

在定义了数字的表示和储存方法后,就不得不考虑运算规则的问题. 由于将大数拆分成了许多单独的位,编译环境自带的加减乘除开方成方运算,对于整个数组来说就失效了. 而在 Stirling 公式的计算中需要用到以下运算法则(按实现的困难程度升序列举):

- 高精度取位法则(确定数组中存储的究竟是多少位的数)
- 高精度加法法则
- 高精度减法法则
- 高精度数乘法法则(一个小的数乘以整个数组)

- 高精度整数幂运算法则
- 高精度阶乘法则
- 高精度除法法则
- 高精度自然底数幂运算

(以上运算法则的算法大多为自行编写,或许不足以作为范例,只做参考和交流)

本文将只详细介绍高精度除法法则和高精度自然底数幂运算的实现方法,其他的运算规则比较容易理解,具体可参考附录 1 中的源码.

① 高精度除法法则

高精度除法法则的实现实际上是借助于高精度减法.

现计算 $a[10]/b[10]$:

其中 $a[10]\sim 4846931$; $b[10]\sim 12$;

| a[9] | a[8] | a[7] | a[6] | a[5] | a[4] | a[3] | a[2] | a[1] | a[0] |
|------|------|------|------|------|------|------|------|------|------|
| 0 | 0 | 0 | 4 | 9 | 4 | 6 | 8 | 3 | 1 |
| 0 | 0 | 0 | 0 | 0 | 0 | 0 | 0 | 1 | 2 |
| b[9] | b[8] | b[7] | b[6] | b[5] | b[4] | b[3] | b[2] | b[1] | b[0] |

Step1: 利用高精度取位法则计算出两数组存储的数字的位数 pota 和 potb 以及他们的差值 dig .

Step2: 利用指针将 $b[]$ 的最高位移动到 $a[]$ 的最高位.

| a[9] | a[8] | a[7] | a[6] | a[5] | a[4] | a[3] | a[2] | a[1] | a[0] |
|------|------|------|------|------|------|------|------|------|------|
| 0 | 0 | 0 | 4 | 9 | 4 | 6 | 8 | 3 | 1 |
| 0 | 0 | 0 | 1 | 2 | | | | | |
| | | | b[1] | b[0] | | | | | |

Step3: 做减法(注意借位运算)直至 $a[6]$ 为负,每做一次减法 $c[\text{dig}]$ 中加一.

(数组 $c[]$ 存放的是除法的结果)

Step4: 回撤一次减法运算(因为以最高位为负值作为停止标准,多减了一次)

Step5: 指针移向下一位,并将 $a[6]$ 残余的数值乘 10 加到 $a[5]$ 中

| a[9] | a[8] | a[7] | a[6] | a[5] | a[4] | a[3] | a[2] | a[1] | a[0] |
|------|------|------|------|------|------|------|------|------|------|
| 0 | 0 | 0 | 0 | 1 | 4 | 6 | 8 | 3 | 1 |
| 0 | 0 | 0 | 0 | 1 | 2 | | | | |
| | | | b[1] | b[0] | | | | | |

| c[9] | c[8] | c[7] | c[6] | c[5] | c[4] | c[3] | c[2] | c[1] | c[0] |
|------|------|------|------|------|------|------|------|------|------|
| 0 | 0 | 0 | 0 | 4 | 0 | 0 | 0 | 0 | 0 |

Step6: 重复上述操作

这里定义的减法运算显然只能精确到个位,如果加入小数点,运算规则将更加复杂.

② 高精度自然对数幂运算

(I) 一个不太成功的设想

e^N 的计算,并不像整数计算那样简单,因为其中包含了一个无理数 e . 一种可能的方法是用一个有限位小数(如 2.7183)代替 e . 但仔细考量后就会发现这个方法并不可行. 如前文提到:

$$e^{709} = 8.2184E+307$$

假设前 708 个 e 都不近似, 只是最后一个 e 近似为 2.7183, 最终结果的误差将会高达 $1.6E+303$. 有理由相信, 如果 709 个 e 全部近似为 2.7183, 这一误差将会大到不可忽略的地步. (实际经过计算为: $8.2575e+307$, 两数相差 $3.9E+305$) 这将严重影响最终公式右侧数值的准确度.

或许, 当对 e 取足够多位数(如取到小数点后 100 位)时, 结果将最终达到精度的要求, 但时如前文所说, 如果引入小数点, 运算规则将更加复杂. 如此定义算法, 得不偿失.

(II) 一个看似可行的方法

提到 e^x , 很自然可以想到这样一个等式:

$$e^x = 1 + x + \frac{x^2}{2!} + \frac{x^3}{3!} + \cdots + \frac{x^n}{n!} + \cdots \quad (2)$$

e^x 的 Taylor 展开式(或更确切的说时 Maclaurin 展开式)提供了一种计算 e^N 的思路. 因为 e^N (N 是一个很大的值)是一个有限的数, 因此(2)式中右侧级数一定是收敛的. 也就是其中一项的值满足

$$\lim_{n \rightarrow \infty} a_n = \lim_{n \rightarrow \infty} \frac{N^n}{n!} = 0 \quad (3)$$

对于一个任意大于 0 的小量 ε , 当 n 增大到一定程度时, a_n 必将收敛至小于 ε . 不妨取 $\varepsilon=1$, 假设 $n \geq M$ 时 $a_n < 1$, 即:

$$a_M = \frac{N^M}{M!} \leq 1 \quad (4)$$

则 e^N 可写作:

$$e^N = 1 + N + \frac{N^2}{2!} + \frac{N^3}{3!} + \cdots + \frac{N^M}{M!} + \Delta(M) \quad (5)$$

要求解这个问题实际上需要一些近似:

(i) 第一个近似, 忽略 $\Delta(M)$.

下面研究 $\Delta(M)$ 对整个和的贡献:

$$\Delta(M) = \sum_{j=1}^{\infty} a_{M+j}, \quad a_{M+j} = a_M \cdot \frac{N}{M+1} \cdot \frac{N}{M+2} \cdot \cdots \cdots \frac{N}{M+j}; \quad (6)$$

首先考虑 a_{2N-1} 这一项:

$$\begin{aligned} a_{2N-1} &= \frac{N}{1} \cdot \frac{N}{2} \cdot \cdots \cdot \frac{N}{N} \cdot \cdots \cdot \frac{N}{2N-1} \\ &= \prod_{\beta=1}^{N-1} \frac{N}{N+\beta} \cdot \frac{N}{N-\beta} \\ &= \prod_{\beta=1}^{N-1} \frac{N^2}{N^2 - \beta^2} > 1 \end{aligned}$$

可见, a_{2N-1} 这一项并未收敛至小于 1, 换言之: $M \geq 2N$, $N/M \leq 1/2$; 将这一关系应用到(6)式再进行适当的放缩, 就可以得到: $\Delta(M) \leq 2a_M \leq 2$.

上述关系对于任意 N 是普适成立的, 由于 N 一般很大, 因此一个小于 2 的数对整个和式结果的影响式极其微弱的 $\Delta(M)$ 可以舍去.

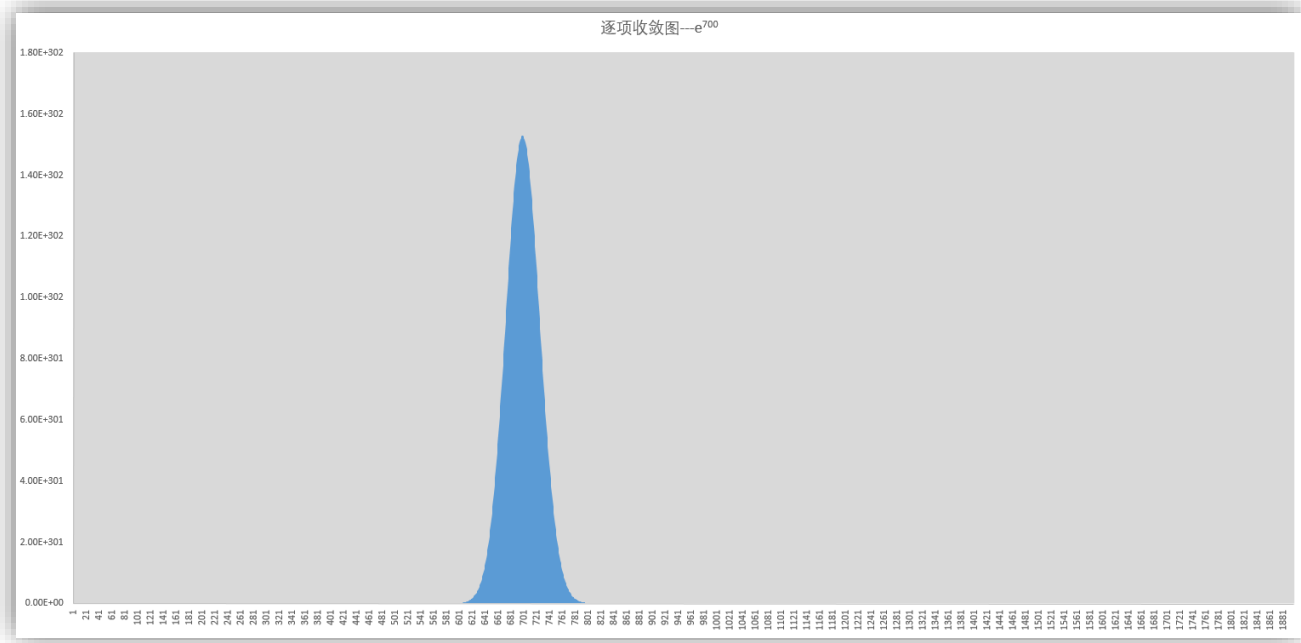
(ii) 第二个近似, 每项只取整数部分.

通过前文的描述不难发现, e^N 求解的实现, 实际上是要基于高精度除法运算的. 前文已经提到, 为了使算法不至过于复杂, 源码中的高精度除法运算只保留到个位. 再将这种除法定义应用到 e^N 的计算中后, 就可能产

生一个问题. 由于定义的 e^N 实际上是大量除法结果加和的结果, 如果每一项都将小数位忽略, 在进行了 M 次加和之后, 在除法中忽略的小数位是否会累加到影响整个结果精度的程度.

简言之, 要确定除法的近似是否合理, 需要求算 M 的量级, 并比较它与最后结果的差距.

这里先给出 e^{700} Taylor 展开逐项收敛示意图:



图中横坐标代表 Taylor 级数的不同项, 即 a_n . 纵坐标代表对应项的数值.

由图像可以看出, a_n 在 $n=700$ 附近出现一个尖锐的峰, 这说明 a_n 的收敛是非常迅速的, M (收敛至 1 时的项数)的量级应该与 N (e 的幂指数)相差不大.

利用计算机程序, 对 N 和 M 的关系做进一步观测, 结果如下:

| N | 100 | 200 | 300 | 400 | 500 | 600 | 700 | 800 | 900 | 1000 |
|-----|-------|-------|-------|-------|-------|-------|-------|-------|-------|-------|
| M | 270 | 541 | 813 | 1084 | 1356 | 1628 | 1900 | 2171 | 2443 | 2715 |
| M/N | 2.700 | 2.705 | 2.710 | 2.710 | 2.712 | 2.713 | 2.714 | 2.714 | 2.714 | 2.715 |

由上表数据, 发现 M (M 为 展开式收敛至小于 1 后的 第一项的项数)与 N 量级确实相差不大, 总结数据规律不难发现, M/N 近似满足小于 e 这一条件, 即:

$$M < eN \tag{7}$$

而由前文的描述可知, M 满足不等式组:

$$\left\{ \begin{array}{l} (M-1)! \leq N^{M-1} \\ M! > N^M \end{array} \right. \tag{8.1}$$

$$\tag{8.2}$$

由上式易得:

$$M > N \tag{9}$$

是(8) 式成立的一个必要不充分条件(若(8)成立, 则(9)必然成立).

可以猜想, (8)式成立的另一个必要不充分条件是(7)式.(若(8)成立, 则(7)必然成立)
很遗憾, 关于这一点的证明, 笔者并没有想到一个较好的方法.

由上面的讨论, 我们了解了 M 的量级. 对于参与加和每一项来说, 忽略小数位造成的误差不超过 1.0, 因而整个求和过程中因忽略小数引起的误差不超过 M.

而 M 被认为是一个与 N 量级相当的数, 在 N 取大数的情况下, M 相对于 e^N 可以忽略.

由上面的讨论, 可知, 用此算法计算出的 e^N 数值, 有很大的几率是合理的.(这里之所以这样说, 是因为(7)式只是用唯象法得出的结论, 并没有进行严格的数学证明)

下面给出其算法:

- Step1: 判断输入数字的大小, 若小于 700, 直接运算, 大于 700, 进行 Taylor 展开运算.
- Step2: 计算 Taylor 级数中第一项的大小
- Step3: 并判断是否小于 1.
- Step4: 如果大于 1, 将此项加入到总和中, 并进行下一项的计算, 重复 2、3 步骤;
如果小于 1, 则停止循环, 并输出加和结果.

三、计算结果及分析

(一)计算结果

下面列出本程序计算结果:

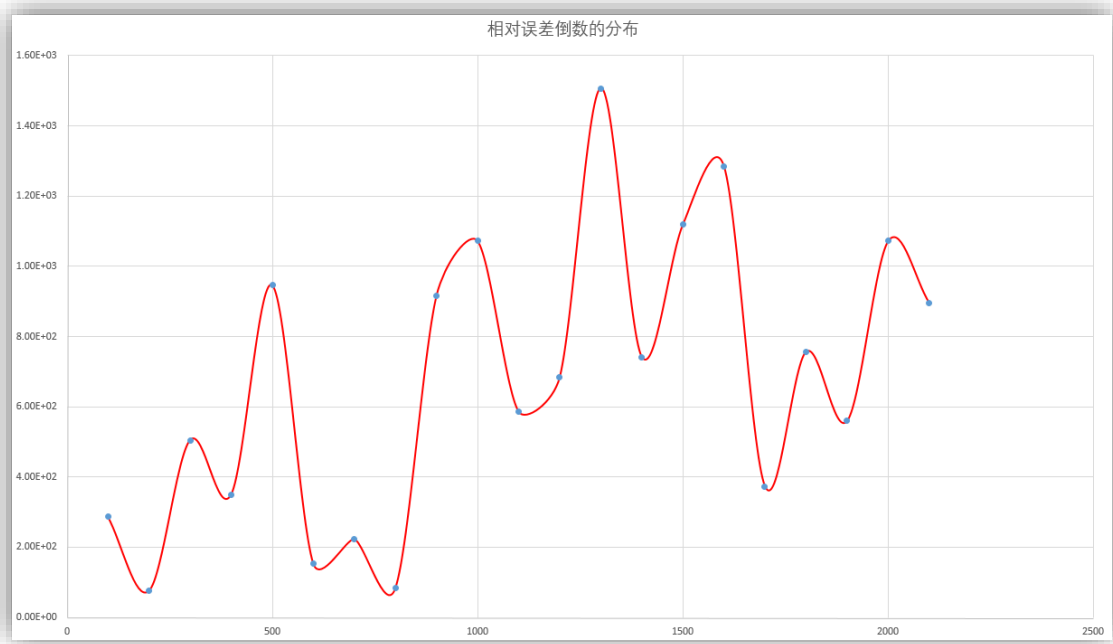
在 Linux(Ubuntu) GCC64 位编译环境下考虑 $\sqrt{2\pi N}$ 下输出的结果(表 1)

请输入 N 的范围:1<N<10000
请输入数据取点个数:100
请输入要保存的有效数字:6
方程右侧是否引入最后一项修正项?(N/Y):y

| N | N! | Appro_Val | Differ | 1/(Rela_Differ) |
|------|-------------|-------------|-------------|-----------------|
| 0 | 1E0 | 0E0 | 1E0 | 1E0 |
| 100 | 933262E152 | 930018E152 | 324316E150 | 287E0 |
| 200 | 788657E369 | 778355E369 | 103021E368 | 76E0 |
| 300 | 306057E609 | 305452E609 | 605160E606 | 505E0 |
| 400 | 640345E863 | 638518E863 | 182630E861 | 350E0 |
| 500 | 122013E1129 | 121884E1129 | 128968E1126 | 946E0 |
| 600 | 126557E1403 | 125736E1403 | 820821E1400 | 154E0 |
| 700 | 242204E1684 | 241119E1684 | 108415E1682 | 223E0 |
| 800 | 771053E1971 | 761969E1971 | 908391E1969 | 84E0 |
| 900 | 675268E2264 | 674531E2264 | 736867E2261 | 916E0 |
| 1000 | 402387E2562 | 402011E2562 | 375294E2559 | 1072E0 |
| 1100 | 534370E2864 | 533459E2864 | 911079E2861 | 586E0 |
| 1200 | 635078E3170 | 634151E3170 | 927677E3167 | 684E0 |
| 1300 | 315951E3480 | 315742E3480 | 209584E3477 | 1507E0 |
| 1400 | 346062E3793 | 345596E3793 | 465952E3790 | 742E0 |
| 1500 | 481199E4109 | 480770E4109 | 429665E4106 | 1119E0 |
| 1600 | 527197E4428 | 526787E4428 | 410342E4425 | 1284E0 |
| 1700 | 299835E4750 | 299032E4750 | 802416E4747 | 373E0 |
| 1800 | 612615E5074 | 611807E5074 | 808489E5071 | 757E0 |
| 1900 | 324199E5401 | 323620E5401 | 578776E5398 | 560E0 |
| 2000 | 331627E5730 | 331318E5730 | 309117E5727 | 1072E0 |
| 2100 | 503876E6061 | 503313E6061 | 562718E6058 | 895E0 |

由于 c 语言不自带绘图软件, 因此所有的数据绘图都将借助于 Excel 表格实现. (这确实是一种非常低效的手段, 但同时很简单)然而, excel 表格所能承受的最大数字也时双精度范围(最大 1.7E+308), 因此无法绘制出上表中第二列、第三列和第四列(分别代表公式的左侧的数值大小, 右侧数值大小, 二、三列的差值)的图像, 只能给出相对误差倒数的图像.

如下图所示:



图中，横坐标代表带入公式的不同的整数值，纵坐标代表方程两侧相对误差的倒数。也即，纵轴数值越大，Stirling 公式左右两侧近似程度越好。

可以设想，横轴与纵轴应满足较好的正相关关系。

然而，上图所展示的对应关系其实是相当糟糕的。并不是预想的完美的正比关系，而是出现了波动。关于本图，将在数据分析中具体讨论。

在 Linux(Ubuntu) GCC64 位编译环境下不考虑 $\sqrt{2\pi N}$ 下输出的结果(部分)(表 2)

请输入 N 的范围:1<N<700
请输入数据取点个数:700
请输入要保存的有效数字:6
方程右侧是否引入最后一项修正项?(N/Y):n

| N | N! | Appro_Val | Differ | 1/(Rela_Differ) |
|-----|------------|------------|------------|-----------------|
| 330 | 282408E684 | 620042E682 | 276208E684 | 1E0 |
| 331 | 934772E686 | 204923E685 | 914279E686 | 1E0 |
| 332 | 310344E689 | 679322E687 | 303551E689 | 1E0 |
| 333 | 103344E692 | 225874E690 | 101085E692 | 1E0 |
| 334 | 345171E694 | 753291E692 | 337638E694 | 1E0 |
| 335 | 115632E697 | 251975E695 | 113112E697 | 1E0 |
| 336 | 388524E699 | 845378E697 | 380070E699 | 1E0 |
| 337 | 130932E702 | 284469E700 | 128088E702 | 1E0 |
| 338 | 442552E704 | 960085E702 | 432952E704 | 1E0 |
| 339 | 150025E707 | 324988E705 | 146775E707 | 1E0 |
| 340 | 510086E709 | 110333E708 | 499053E709 | 1E0 |
| 341 | 173939E712 | 375685E710 | 170182E712 | 1E0 |
| 342 | 594873E714 | 128296E713 | 582043E714 | 1E0 |
| 343 | 204041E717 | 439416E715 | 199647E717 | 0E0 |
| 344 | 701902E719 | 150939E718 | 686808E719 | 1E0 |
| 345 | 242156E722 | 519985E720 | 236956E722 | 1E0 |
| 346 | 837861E724 | 179655E723 | 819895E724 | 1E0 |
| 347 | 290737E727 | 622504E725 | 284512E727 | 1E0 |
| 348 | 101176E730 | 216320E728 | 990135E729 | 1E0 |
| 349 | 353106E732 | 753875E730 | 345568E732 | 1E0 |
| 350 | 123587E735 | 263479E733 | 120952E735 | 1E0 |
| 351 | 433791E737 | 923495E735 | 424556E737 | 1E0 |
| 352 | 152694E740 | 324608E738 | 149448E740 | 1E0 |
| 353 | 539012E742 | 114424E741 | 527569E742 | 1E0 |
| 354 | 190810E745 | 404490E743 | 186765E745 | 1E0 |
| 355 | 677376E747 | 143391E746 | 663037E747 | 1E0 |
| 356 | 241146E750 | 509757E748 | 236048E750 | 1E0 |
| 357 | 860891E752 | 181728E751 | 842718E752 | 1E0 |
| 358 | 308199E755 | 649679E753 | 301702E755 | 1E0 |
| 359 | 110643E758 | 232909E756 | 108314E758 | 1E0 |
| 360 | 398316E760 | 837310E758 | 389943E760 | 1E0 |
| 361 | 143792E763 | 301850E761 | 140773E763 | 1E0 |
| 362 | 520528E765 | 109118E764 | 509616E765 | 1E0 |
| 363 | 188951E768 | 395555E766 | 184996E768 | 1E0 |
| 364 | 687784E770 | 143784E769 | 673405E770 | 1E0 |
| 365 | 251041E773 | 524094E771 | 245800E773 | 1E0 |
| 366 | 918811E775 | 191556E774 | 899655E775 | 1E0 |
| 367 | 337203E778 | 702054E776 | 330183E778 | 1E0 |
| 368 | 124090E781 | 258004E779 | 121510E781 | 1E0 |
| 369 | 457895E783 | 950747E781 | 448388E783 | 1E0 |
| 370 | 169421E786 | 351301E784 | 165908E786 | 1E0 |
| 371 | 628553E788 | 130157E787 | 615537E788 | 1E0 |
| 372 | 233821E791 | 483533E789 | 228986E791 | 1E0 |
| 373 | 872155E793 | 180116E792 | 854143E793 | 1E0 |
| 374 | 326186E796 | 672733E794 | 319458E796 | 1E0 |

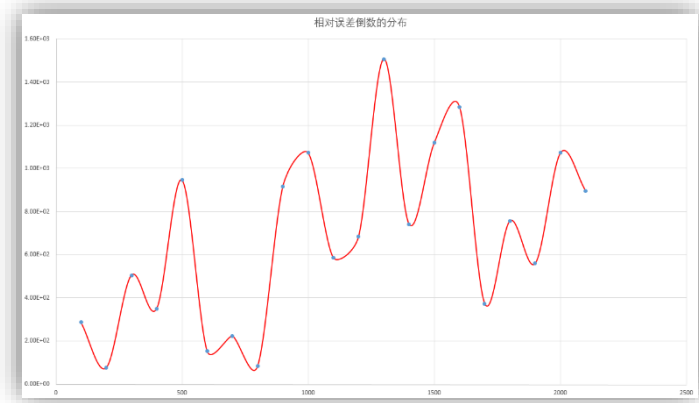
| | | | | |
|-----|------------|------------|------------|-----|
| 375 | 122319E799 | 251938E797 | 119800E799 | 1E0 |
| 376 | 459922E801 | 946029E799 | 450462E801 | 1E0 |
| 377 | 173390E804 | 356179E802 | 169828E804 | 1E0 |
| 378 | 655417E806 | 134457E805 | 641971E806 | 1E0 |
| 379 | 248403E809 | 508922E807 | 243313E809 | 1E0 |
| 380 | 943931E811 | 193136E810 | 924618E811 | 1E0 |
| 381 | 359637E814 | 734882E812 | 352289E814 | 1E0 |
| 382 | 137381E817 | 280357E815 | 134578E817 | 1E0 |
| 383 | 526171E819 | 107236E818 | 515448E819 | 1E0 |
| 384 | 202050E822 | 411253E820 | 197937E822 | 0E0 |
| 385 | 777892E824 | 158126E823 | 762079E824 | 1E0 |
| 386 | 300266E827 | 609578E825 | 294170E827 | 0E0 |
| 387 | 116203E830 | 235601E828 | 113847E830 | 1E0 |
| 388 | 450868E832 | 912957E830 | 441738E832 | 1E0 |
| 389 | 175387E835 | 354683E833 | 171840E835 | 1E0 |
| 390 | 684012E837 | 138149E836 | 670197E837 | 1E0 |

(由于数据过多，上表只列出了部分数据，要获取更完整的数据，请运行源文件或查看 DATA 中保存的数据样本)

观察上表发现，如果 Stirling 公式右侧不引入最后一项修正项，最终结果将于左侧差几个数量级。这说明在直接用(1)式做近似时，第三项修正是不可忽略的。

(二)数据分析

忽略修正项所得数据(表 2)的意义已在上一部分说明，重点在于在不忽略修正项的情况下(表 1)算得的数据是否存在问题。



左图为相对误差数值倒数的曲线，这一结果显然是有问题的。(关于为何“显然有问题”将在下文中讨论)

通过验证(N 小于 140，通过 MatLab 验证)，此程序算得的公式左侧 N! 与实际值完全符合。而右侧近似值在有效数字保留到 8 位左右时，才与 MatLab 的计算结果出现差异。这说明表 1 的第二列，第三列数据具有很高的可信度。

但是在计算相对误差时，是用二三列的差除以第二列得到。这种操作，随着公式两侧实际数值的不断相互逼近，实际上就变成

了不断放大一系列极其微小差别的过程。在计算方程右侧时用到的高精度除法和自然底数幂运算引入了一些近似。这些近似所带来的误差，都将在这一过程中体现出来。

以一个形象的例子来类比这一过程。运算中所做的近似，为最终的结果引入了许多微小的数值涨落。这实际上类似于在信号中引入了背景噪音，当信号不算太微弱时，正如第二列和第三列的数值，这一噪声可以被忽略。但是，如果探测的是一个极其微小的信号(如两个强度极其接近的信号的差)，那么背景噪声将不能被忽略，它甚至可以完全覆盖探测信号。

上述图像所展现的波动，实际上就是由于这种“噪声”引起的。

因此，引入的精确到个位的高精度算法，能较为精确的求得 Stirling 公式两侧数值的大小，但对于相对误差的分析却无能为力。

在电学实验中，可以利用仪器，例如锁相放大器，降低噪声，放大信号。可以推测，在高精度运算中，也可以考虑引入降噪运算。但这些已经超出了笔者所掌握的知识范围，不再做详细讨论。

四、高精度算法的内在问题

上面介绍了在高精度运算在计算本问题时的一定的可行性，但同时这一算法也存在缺。

主要有以下几点：

- 1. 内存浪费

在数据的储存过程中，实际上使用了一个整形数(最大值 4294967296)存放了一个小于 10 的正整数。这是对内存资源的严重浪费。这一问题的解决，可以依靠从新定义一个数组元素中存储的位数来修正。

II.运算效率低

在计算 e^N 时，用到了 Taylor 级数展开相加的方式。但是，对于一个大数，如 100,000。在计算其自然底数幂的大小时，就需要进行大于 270,000 次的加和，才能最终收敛。而每一次加和中的运算量也是十分巨大的。经实验，在 $N>2000$ 后，方程右侧的计算就变得极其缓慢了。(2.5GHz, e^{2000} 大约需要计算 12 分钟)目前这一问题的解决方法只有优化算法和内存调控。

五、一种简化公式的运算方法

(一)算法的原理

文章开头就提到，之所以引入高精度运算，就是因为 $N!$ 和 N^N 随 N 的增大急速增加，以至于系统所允许的最大数值无法存储其结果。然而，如果从公式的角度出发，对其本身进行简化，那么在算法实现上的复杂程度，可能会以几何递减关系下降。

现对 Stirling 公式进行简化，方程两边同时取对数：

$$\ln N! = N \ln N - N + \frac{1}{2} \ln(2\pi N) \tag{9}$$

而 $\ln N!$ 在实际运算时可化为：

$$\ln N! = \ln 1 + \ln 2 + \ln 3 + \dots + \ln N \tag{10}$$

这样一来，所以有的数都降低了一个尺度，自然就可以用 double 类型完成全部运算。

此算法较为简单，不再赘述。具体可参考附录 2。

(二)计算结果与数据分析

(i)计算结果

① 在 Linux(Ubuntu16.04) GCC64 位编译环境下考虑右侧修正项编译结果如下

| *****lnN!=NlnN+N 验证***** | | | | | |
|--------------------------|--------------|--------------|----------|-------------------|---------------|
| 取值范围 1<N<10000 | | | | | |
| 取点个数:1000 | | | | | |
| 是否考虑右侧第三项(Y/N):y | | | | | |
| N | lnN! | Approve | differ | 1/RE_dif | 1/N_re_dif |
| 9000 | 72950.290145 | 72950.290135 | 0.000009 | 7878661687.496268 | 108000.916063 |
| 9010 | 73041.346052 | 73041.346043 | 0.000009 | 7897283085.521169 | 108121.222200 |
| 9020 | 73132.413057 | 73132.413048 | 0.000009 | 7915897343.488701 | 108241.114696 |
| 9030 | 73223.491149 | 73223.491139 | 0.000009 | 7934529107.139473 | 108360.931642 |
| 9040 | 73314.580314 | 73314.580304 | 0.000009 | 7953190811.729170 | 108480.842897 |
| 9050 | 73405.680540 | 73405.680531 | 0.000009 | 7971882466.959433 | 108600.848207 |
| 9060 | 73496.791815 | 73496.791806 | 0.000009 | 7990604082.293540 | 108720.947315 |
| 9070 | 73587.914127 | 73587.914118 | 0.000009 | 8009342981.439022 | 108840.967575 |
| 9080 | 73679.047465 | 73679.047455 | 0.000009 | 8028099042.101292 | 108960.907584 |
| 9090 | 73770.191814 | 73770.191805 | 0.000009 | 8046872141.121353 | 109080.765935 |
| 9100 | 73861.347164 | 73861.347155 | 0.000009 | 8065687788.355778 | 109200.888269 |
| 9110 | 73952.513503 | 73952.513494 | 0.000009 | 8084507540.053733 | 109320.753730 |
| 9120 | 74043.690818 | 74043.690809 | 0.000009 | 8103356948.839007 | 109440.708334 |
| 9130 | 74134.879097 | 74134.879088 | 0.000009 | 8122248970.365689 | 109560.926474 |
| 9140 | 74226.078329 | 74226.078319 | 0.000009 | 8141105781.383290 | 109680.358680 |
| 9150 | 74317.288500 | 74317.288491 | 0.000009 | 8160044064.463139 | 109800.577871 |
| 9160 | 74408.509601 | 74408.509592 | 0.000009 | 8178985862.337975 | 109920.533425 |
| 9170 | 74499.741617 | 74499.741608 | 0.000009 | 8197944039.520932 | 110040.398952 |
| 9180 | 74590.984538 | 74590.984529 | 0.000009 | 8216957982.193829 | 110160.702779 |
| 9190 | 74682.238352 | 74682.238343 | 0.000009 | 8235975095.350787 | 110280.739012 |
| 9200 | 74773.503047 | 74773.503038 | 0.000009 | 8255021636.999264 | 110400.859763 |
| 9210 | 74864.778611 | 74864.778601 | 0.000009 | 8274084303.110383 | 110520.886979 |
| 9220 | 74956.065031 | 74956.065022 | 0.000009 | 8293162960.878489 | 110640.819199 |
| 9230 | 75047.362288 | 75047.362288 | 0.000009 | 8312270874.102183 | 110760.833471 |

| | | | | | |
|--------------------|--------------|--------------|----------|-------------------|---------------|
| 9240 | 75138.670397 | 75138.670388 | 0.000009 | 8331421487.228025 | 110881.108390 |
| 9250 | 75229.989319 | 75229.989310 | 0.000009 | 8350560984.258119 | 111000.927620 |
| 9260 | 75321.319051 | 75321.319042 | 0.000009 | 8369743092.122989 | 111121.006088 |
| 9270 | 75412.659582 | 75412.659573 | 0.000009 | 8388927208.796792 | 111240.804419 |
| 9280 | 75504.010899 | 75504.010890 | 0.000009 | 8408153935.902439 | 111360.861334 |
| 9290 | 75595.372992 | 75595.372983 | 0.000009 | 8427409738.828526 | 111480.996826 |
| 9300 | 75686.745848 | 75686.745839 | 0.000009 | 8446694616.668588 | 111601.210561 |
| 9310 | 75778.129457 | 75778.129448 | 0.000009 | 8465994804.601811 | 111721.320577 |
| 9320 | 75869.523806 | 75869.523797 | 0.000009 | 8485296352.551327 | 111841.143343 |
| 9330 | 75960.928884 | 75960.928875 | 0.000009 | 8504626692.657558 | 111961.040999 |
| 9340 | 76052.344680 | 76052.344671 | 0.000009 | 8523999724.272711 | 112081.196002 |
| 9350 | 76143.771182 | 76143.771173 | 0.000009 | 8543359787.329203 | 112200.876404 |
| 9360 | 76235.208378 | 76235.208369 | 0.000009 | 8562776437.024210 | 112320.996254 |
| 9370 | 76326.656258 | 76326.656249 | 0.000009 | 8582221864.295995 | 112441.189598 |
| 9380 | 76418.114809 | 76418.114800 | 0.000009 | 8601681975.429131 | 112561.271710 |
| 9390 | 76509.584021 | 76509.584012 | 0.000009 | 8621170761.093494 | 112681.425815 |
| 9400 | 76601.063882 | 76601.063873 | 0.000009 | 8640674032.530951 | 112801.466394 |
| 9410 | 76692.554380 | 76692.554371 | 0.000009 | 8660234334.406071 | 112921.948562 |
| 9420 | 76784.055505 | 76784.055496 | 0.000009 | 8679766276.497276 | 113041.758623 |
| 9430 | 76875.567245 | 76875.567236 | 0.000009 | 8699340910.756443 | 113161.823195 |
| 9440 | 76967.089589 | 76967.089580 | 0.000009 | 8718929626.388716 | 113281.769605 |
| 9450 | 77058.622526 | 77058.622517 | 0.000009 | 8738517852.662998 | 113401.409155 |
| 9460 | 77150.166044 | 77150.166035 | 0.000009 | 8758177635.312035 | 113521.676745 |
| 9470 | 77241.720133 | 77241.720124 | 0.000009 | 8777836816.068485 | 113641.635917 |
| 9480 | 77333.284771 | 77333.284771 | 0.000009 | 8797553354.042984 | 113762.037211 |
| 9490 | 77424.859976 | 77424.859967 | 0.000009 | 8817283692.304712 | 113882.316449 |
| 9500 | 77516.445708 | 77516.445699 | 0.000009 | 8836998356.791710 | 114002.093806 |
| 9510 | 77608.041966 | 77608.041957 | 0.000009 | 8856755736.702425 | 114122.123383 |
| 9520 | 77699.648739 | 77699.648730 | 0.000009 | 8876541209.132729 | 114242.216059 |
| 9530 | 77791.266015 | 77791.266007 | 0.000009 | 8896325152.571405 | 114361.990799 |
| 9540 | 77882.893784 | 77882.893776 | 0.000009 | 8916196386.175943 | 114482.589108 |
| 9550 | 77974.532035 | 77974.532026 | 0.000009 | 8936036262.316902 | 114602.486432 |
| 9560 | 78066.180757 | 78066.180748 | 0.000009 | 8955903988.701225 | 114722.443638 |
| 9570 | 78157.839938 | 78157.839929 | 0.000009 | 8975799552.010534 | 114842.460311 |
| 9580 | 78249.509568 | 78249.509559 | 0.000009 | 8995737987.724079 | 114962.728358 |
| 9590 | 78341.189635 | 78341.189627 | 0.000009 | 9015689232.734148 | 115082.863120 |
| 9600 | 78432.880130 | 78432.880121 | 0.000009 | 9035622830.398642 | 115202.476716 |
| 9610 | 78524.581041 | 78524.581032 | 0.000009 | 9055599109.302610 | 115322.339217 |
| 9620 | 78616.292357 | 78616.292348 | 0.000009 | 9075648693.948912 | 115442.839264 |
| 9630 | 78708.014068 | 78708.014059 | 0.000009 | 9095664944.075621 | 115562.619714 |
| 9640 | 78799.746162 | 78799.746153 | 0.000009 | 9115708630.043859 | 115682.454246 |
| 9650 | 78891.488629 | 78891.488620 | 0.000009 | 9135810524.929924 | 115802.732709 |
| 9660 | 78983.241458 | 78983.241450 | 0.000009 | 9155893685.539078 | 115922.479354 |
| 9670 | 79075.004639 | 79075.004631 | 0.000009 | 9175988635.039883 | 116042.082001 |
| 9680 | 79166.778161 | 79166.778152 | 0.000009 | 9196141839.434481 | 116162.128061 |
| 9690 | 79258.562012 | 79258.562004 | 0.000009 | 9216306795.269491 | 116282.029229 |
| 9700 | 79350.356183 | 79350.356175 | 0.000009 | 9236545914.513256 | 116402.572516 |
| 9710 | 79442.160663 | 79442.160654 | 0.000009 | 9256765456.057198 | 116522.575669 |
| 9720 | 79533.975441 | 79533.975432 | 0.000009 | 9276996438.976435 | 116642.430541 |
| 9730 | 79625.800506 | 79625.800498 | 0.000009 | 9297286082.336182 | 116762.730624 |
| 9740 | 79717.635849 | 79717.635840 | 0.000009 | 9317539582.511484 | 116882.285108 |
| 9750 | 79809.481457 | 79809.481449 | 0.000009 | 9337883498.030907 | 117002.682292 |
| 9760 | 79901.337322 | 79901.337313 | 0.000009 | 9358222720.162819 | 117122.728913 |
| 9770 | 79993.203432 | 79993.203423 | 0.000009 | 9378588922.426435 | 117242.822099 |
| 9780 | 80085.079777 | 80085.079768 | 0.000009 | 9398966030.311649 | 117362.760942 |
| 9790 | 80176.966346 | 80176.966338 | 0.000009 | 9419386073.626472 | 117482.945433 |
| 9800 | 80268.863130 | 80268.863121 | 0.000009 | 9439849183.181683 | 117603.376324 |
| 9810 | 80360.770116 | 80360.770108 | 0.000008 | 9460274458.196026 | 117723.046020 |
| 9820 | 80452.687296 | 80452.687288 | 0.000008 | 9480758803.143490 | 117843.161592 |
| 9830 | 80544.614659 | 80544.614651 | 0.000008 | 9501253573.991581 | 117963.117542 |
| 9840 | 80636.552195 | 80636.552186 | 0.000008 | 9521807674.775707 | 118083.520860 |
| 9850 | 80728.499892 | 80728.499883 | 0.000008 | 9542355737.249687 | 118203.560258 |
| 9860 | 80820.457741 | 80820.457733 | 0.000008 | 9562913888.977262 | 118323.436497 |
| 9870 | 80912.425732 | 80912.425723 | 0.000008 | 9583514982.533567 | 118443.556130 |
| 9880 | 81004.403853 | 81004.403845 | 0.000008 | 9604142577.349266 | 118563.715338 |
| 9890 | 81096.392096 | 81096.392088 | 0.000008 | 9624780023.390738 | 118683.708645 |
| 9900 | 81188.390450 | 81188.390441 | 0.000008 | 9645410460.214771 | 118803.328913 |
| 9910 | 81280.398904 | 81280.398895 | 0.000008 | 9666100454.520817 | 118923.396356 |
| 9920 | 81372.417448 | 81372.417439 | 0.000008 | 9686816732.245119 | 119043.500517 |
| 9930 | 81464.446072 | 81464.446064 | 0.000008 | 9707542430.737549 | 119163.434247 |
| 9940 | 81556.484767 | 81556.484758 | 0.000008 | 9728311134.079729 | 119283.609884 |
| 9950 | 81648.533521 | 81648.533512 | 0.000008 | 9749089092.244507 | 119403.613221 |
| 9960 | 81740.592325 | 81740.592316 | 0.000008 | 9769893107.805746 | 119523.650372 |
| 9970 | 81832.661168 | 81832.661160 | 0.000008 | 9790689057.637260 | 119643.304204 |
| 9980 | 81924.740042 | 81924.740033 | 0.000008 | 9811544987.070269 | 119763.406567 |
| 9990 | 82016.828935 | 82016.828926 | 0.000008 | 9832409725.946045 | 119883.332021 |
| 10000 | 82108.927837 | 82108.927828 | 0.000008 | 9853317493.992563 | 120003.497890 |
| Program Complete!! | | | | | |

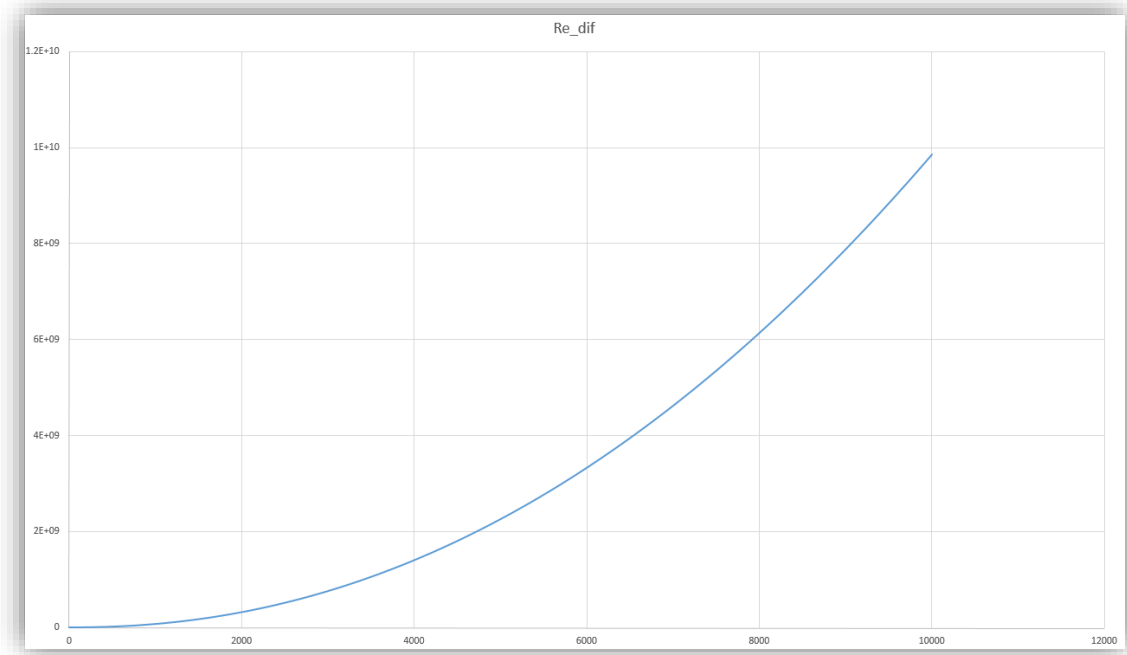
(由于数据过多, 上表只列出了部分数据, 要获取更完整的数据, 请[运行源文件](#)或[查看 DATA](#) 中保存的数据样本)

上表中第一列是方程两侧计算输入的整数值, 第二列是公式左侧 $\ln N!$ 的值的大小, 第三列是右侧近似值的大小, 第四列两列数值之差(differ), 第五列是**相对误差的倒数**, 第六列是在对应的 N 下(1)公式两侧数值相对误差的倒数.

其中前五列是容易理解的, 第六列的计算将在数据分析中讨论.

下面给出公式(9)相对误差倒数的变化曲线(D 线).

注：由于左右两侧的变化曲线(暂称之为 L 线与 R 线)符合的过于好，以至于在图中无法分辨出两条线。因此，只给出相对误差倒数的变化曲线。



上图中，横坐标代表带入公式的不同的整数值，纵坐标代表方程两侧相对误差的倒数。即，纵轴数值越大，Stirling 公式左右两侧近似程度越好。

② 在 Linux(Ubuntu16.04) GCC64 位编译环境下不考虑右侧修正项编译结果如下

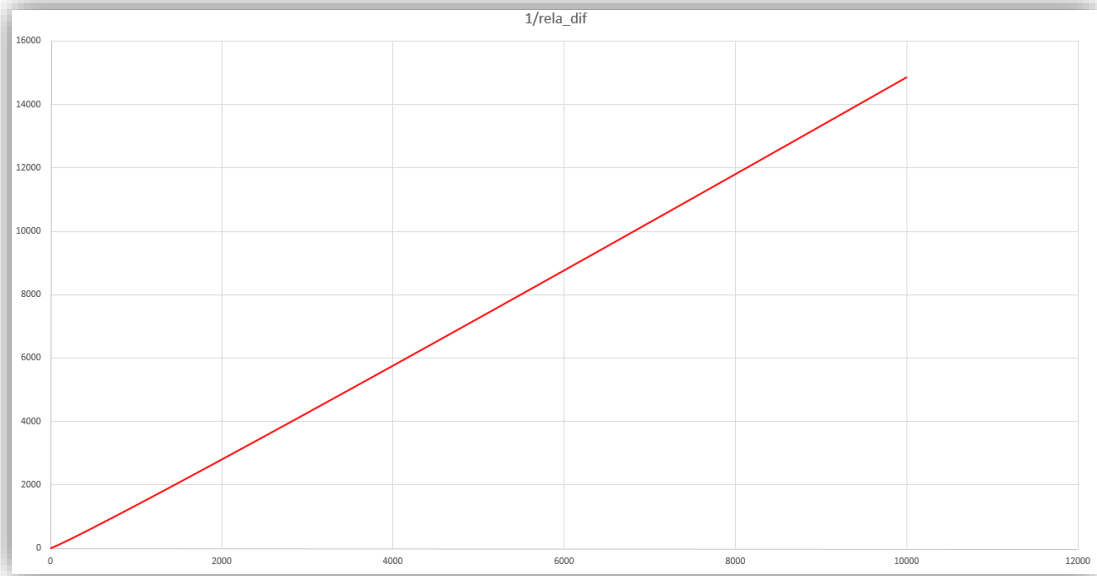
| *****lnN!=NlnN+N 验证***** | | | | | |
|--------------------------|--------------|--------------|----------|--------------|------------|
| 取值范围 1<N<10000 | | | | | |
| 取点个数:1000 | | | | | |
| 是否考虑右侧第三项(Y/N):n | | | | | |
| N | lnN! | Approve | differ | 1/RE_dif | 1/N_re_dif |
| 9000 | 72950.290145 | 72944.818707 | 5.471438 | 13332.928906 | 1.004223 |
| 9010 | 73041.346052 | 73035.874059 | 5.471993 | 13348.216385 | 1.004221 |
| 9020 | 73132.413057 | 73126.940510 | 5.472548 | 13363.504293 | 1.004218 |
| 9030 | 73223.491149 | 73218.018047 | 5.473102 | 13378.792630 | 1.004216 |
| 9040 | 73314.580314 | 73309.106659 | 5.473655 | 13394.081396 | 1.004214 |
| 9050 | 73405.680540 | 73400.206332 | 5.474208 | 13409.370591 | 1.004211 |
| 9060 | 73496.791815 | 73491.317055 | 5.474760 | 13424.660213 | 1.004209 |
| 9070 | 73587.914127 | 73582.438816 | 5.475311 | 13439.950262 | 1.004207 |
| 9080 | 73679.047465 | 73673.571602 | 5.475862 | 13455.240737 | 1.004204 |
| 9090 | 73770.191814 | 73764.715401 | 5.476413 | 13470.531639 | 1.004202 |
| 9100 | 73861.347164 | 73855.870202 | 5.476963 | 13485.822966 | 1.004200 |
| 9110 | 73952.513503 | 73947.035991 | 5.477512 | 13501.114718 | 1.004197 |
| 9120 | 74043.690818 | 74038.212758 | 5.478060 | 13516.406894 | 1.004195 |
| 9130 | 74134.879097 | 74129.400489 | 5.478608 | 13531.699494 | 1.004193 |
| 9140 | 74226.078329 | 74220.599173 | 5.479155 | 13546.992517 | 1.004190 |
| 9150 | 74317.288500 | 74311.808798 | 5.479702 | 13562.285964 | 1.004188 |
| 9160 | 74408.509601 | 74403.029352 | 5.480248 | 13577.579832 | 1.004186 |
| 9170 | 74499.741617 | 74494.260823 | 5.480794 | 13592.874122 | 1.004183 |
| 9180 | 74590.984538 | 74585.503200 | 5.481339 | 13608.168833 | 1.004181 |
| 9190 | 74682.238352 | 74676.756469 | 5.481883 | 13623.463965 | 1.004179 |
| 9200 | 74773.503047 | 74768.020620 | 5.482427 | 13638.759516 | 1.004177 |
| 9210 | 74864.778611 | 74859.295640 | 5.482970 | 13654.055488 | 1.004174 |
| 9220 | 74956.065031 | 74950.581519 | 5.483513 | 13669.351878 | 1.004172 |
| 9230 | 75047.362298 | 75041.878243 | 5.484055 | 13684.648687 | 1.004170 |
| 9240 | 75138.670397 | 75133.185801 | 5.484596 | 13699.945914 | 1.004168 |
| 9250 | 75229.989319 | 75224.504182 | 5.485137 | 13715.243558 | 1.004165 |
| 9260 | 75321.319051 | 75315.833374 | 5.485677 | 13730.541619 | 1.004163 |
| 9270 | 75412.659582 | 75407.173365 | 5.486217 | 13745.840096 | 1.004161 |
| 9280 | 75504.010899 | 75498.524143 | 5.486756 | 13761.138990 | 1.004158 |
| 9290 | 75595.372992 | 75589.885697 | 5.487294 | 13776.438298 | 1.004156 |
| 9300 | 75686.745848 | 75681.258016 | 5.487832 | 13791.738022 | 1.004154 |
| 9310 | 75778.129457 | 75772.641087 | 5.488370 | 13807.038160 | 1.004152 |
| 9320 | 75869.523806 | 75864.034900 | 5.488906 | 13822.338711 | 1.004150 |
| 9330 | 75960.928884 | 75955.439442 | 5.489443 | 13837.639676 | 1.004147 |
| 9340 | 76052.344680 | 76046.854702 | 5.489978 | 13852.941053 | 1.004145 |
| 9350 | 76143.771182 | 76138.280668 | 5.490513 | 13868.242843 | 1.004143 |
| 9360 | 76235.208378 | 76229.717330 | 5.491048 | 13883.545045 | 1.004141 |
| 9370 | 76326.656258 | 76321.164676 | 5.491582 | 13898.847658 | 1.004138 |
| 9380 | 76418.114809 | 76412.622694 | 5.492115 | 13914.150681 | 1.004136 |
| 9390 | 76509.584021 | 76504.091373 | 5.492648 | 13929.454115 | 1.004134 |
| 9400 | 76601.063882 | 76595.570702 | 5.493180 | 13944.757958 | 1.004132 |
| 9410 | 76692.554380 | 76687.060669 | 5.493712 | 13960.062211 | 1.004130 |
| 9420 | 76784.055505 | 76778.561263 | 5.494243 | 13975.366872 | 1.004127 |
| 9430 | 76875.567245 | 76870.072472 | 5.494773 | 13990.671941 | 1.004125 |
| 9440 | 76967.089589 | 76961.594286 | 5.495303 | 14005.977418 | 1.004123 |

| | | | | | |
|--------------------|--------------|--------------|----------|--------------|----------|
| 9450 | 77058.622526 | 77053.126694 | 5.495832 | 14021.283302 | 1.004121 |
| 9460 | 77150.166044 | 77144.669683 | 5.496361 | 14036.589593 | 1.004119 |
| 9470 | 77241.720133 | 77236.223243 | 5.496889 | 14051.896290 | 1.004116 |
| 9480 | 77333.284780 | 77327.787363 | 5.497417 | 14067.203393 | 1.004114 |
| 9490 | 77424.859976 | 77419.362031 | 5.497944 | 14082.510901 | 1.004112 |
| 9500 | 77516.445708 | 77510.947237 | 5.498471 | 14097.818814 | 1.004110 |
| 9510 | 77608.041966 | 77602.542969 | 5.498997 | 14113.127130 | 1.004108 |
| 9520 | 77699.648739 | 77694.149217 | 5.499522 | 14128.435851 | 1.004106 |
| 9530 | 77791.266015 | 77785.765968 | 5.500047 | 14143.744974 | 1.004103 |
| 9540 | 77882.893784 | 77877.393213 | 5.500572 | 14159.054501 | 1.004101 |
| 9550 | 77974.532035 | 77969.030940 | 5.501095 | 14174.364429 | 1.004099 |
| 9560 | 78066.180757 | 78060.679138 | 5.501619 | 14189.674760 | 1.004097 |
| 9570 | 78157.839938 | 78152.337796 | 5.502141 | 14204.985491 | 1.004095 |
| 9580 | 78249.509568 | 78244.006904 | 5.502664 | 14220.296624 | 1.004093 |
| 9590 | 78341.189635 | 78335.686450 | 5.503185 | 14235.608156 | 1.004090 |
| 9600 | 78432.880130 | 78427.376424 | 5.503706 | 14250.920088 | 1.004088 |
| 9610 | 78524.581041 | 78519.076814 | 5.504227 | 14266.232420 | 1.004086 |
| 9620 | 78616.292357 | 78610.787610 | 5.504747 | 14281.545151 | 1.004084 |
| 9630 | 78708.014068 | 78702.508801 | 5.505266 | 14296.858279 | 1.004082 |
| 9640 | 78799.746162 | 78794.240377 | 5.505785 | 14312.171806 | 1.004080 |
| 9650 | 78891.488629 | 78885.982325 | 5.506304 | 14327.485730 | 1.004078 |
| 9660 | 78983.241458 | 78977.734637 | 5.506822 | 14342.800051 | 1.004076 |
| 9670 | 79075.004639 | 79069.497300 | 5.507339 | 14358.114768 | 1.004073 |
| 9680 | 79166.778161 | 79161.270305 | 5.507856 | 14373.429881 | 1.004071 |
| 9690 | 79258.562012 | 79253.053640 | 5.508372 | 14388.745390 | 1.004069 |
| 9700 | 79350.356183 | 79344.847296 | 5.508888 | 14404.061294 | 1.004067 |
| 9710 | 79442.160663 | 79436.651260 | 5.509403 | 14419.377592 | 1.004065 |
| 9720 | 79533.975441 | 79528.465523 | 5.509918 | 14434.694284 | 1.004063 |
| 9730 | 79625.800506 | 79620.290075 | 5.510432 | 14450.011370 | 1.004061 |
| 9740 | 79717.635849 | 79712.124903 | 5.510945 | 14465.328849 | 1.004059 |
| 9750 | 79809.481457 | 79803.969999 | 5.511458 | 14480.646721 | 1.004057 |
| 9760 | 79901.337322 | 79895.825351 | 5.511971 | 14495.964985 | 1.004055 |
| 9770 | 79993.203432 | 79987.690949 | 5.512483 | 14511.283640 | 1.004052 |
| 9780 | 80085.079777 | 80079.566782 | 5.512994 | 14526.602687 | 1.004050 |
| 9790 | 80176.966346 | 80171.452841 | 5.513505 | 14541.922124 | 1.004048 |
| 9800 | 80268.863130 | 80263.349114 | 5.514016 | 14557.241952 | 1.004046 |
| 9810 | 80360.770116 | 80355.255591 | 5.514526 | 14572.562170 | 1.004044 |
| 9820 | 80452.687296 | 80447.172261 | 5.515035 | 14587.882777 | 1.004042 |
| 9830 | 80544.614659 | 80539.099115 | 5.515544 | 14603.203773 | 1.004040 |
| 9840 | 80636.552195 | 80631.036142 | 5.516052 | 14618.525157 | 1.004038 |
| 9850 | 80728.499892 | 80722.983332 | 5.516560 | 14633.846930 | 1.004036 |
| 9860 | 80820.457741 | 80814.940673 | 5.517068 | 14649.169090 | 1.004034 |
| 9870 | 80912.425732 | 80906.908157 | 5.517575 | 14664.491637 | 1.004032 |
| 9880 | 81004.403853 | 80998.885773 | 5.518081 | 14679.814571 | 1.004030 |
| 9890 | 81096.392096 | 81090.873509 | 5.518587 | 14695.137891 | 1.004028 |
| 9900 | 81188.390450 | 81182.871358 | 5.519092 | 14710.461596 | 1.004026 |
| 9910 | 81280.398904 | 81274.879307 | 5.519597 | 14725.785687 | 1.004024 |
| 9920 | 81372.417448 | 81366.897347 | 5.520101 | 14741.110163 | 1.004022 |
| 9930 | 81464.446072 | 81458.925467 | 5.520605 | 14756.435023 | 1.004020 |
| 9940 | 81556.484767 | 81550.963659 | 5.521108 | 14771.760267 | 1.004017 |
| 9950 | 81648.533521 | 81643.011910 | 5.521611 | 14787.085895 | 1.004015 |
| 9960 | 81740.592325 | 81735.070212 | 5.522113 | 14802.411905 | 1.004013 |
| 9970 | 81832.661168 | 81827.138554 | 5.522615 | 14817.738298 | 1.004011 |
| 9980 | 81924.740042 | 81919.216926 | 5.523116 | 14833.065074 | 1.004009 |
| 9990 | 82016.828935 | 82011.305318 | 5.523617 | 14848.392231 | 1.004007 |
| 10000 | 82108.927837 | 82103.403720 | 5.524117 | 14863.719769 | |
| 1.004005 | | | | | |
| Program Complete!! | | | | | |

(由于数据过多，上表只列出了部分数据，要获取更完整的数据，请[运行源文件](#)或[查看 DATA](#) 中保存的数据样本)

不同列的数据解释同上.

下面给出公式(9)相对误差倒数的变化曲线(D 线).



对比考虑右侧修正与不考虑右侧修正的两计算数值，不难发现，如果考虑了修正项($\sqrt{2\pi N}$)，相对误差的减小是非常迅速的。在 $N=6000$ 时就降低到了 10^{-9} 量级(也就是十亿分之一)的水平而同条件下，不引入修正项，只降到了 $1/9000$ 左右。但这仍不影响不引入修正项 Stirling 近似公式成立。因为 $1/9000$ 也是一个相当小的量了。(当然还需要视具体的情况而定)

也即，取对数之后的 Stirling 公式与取对数之前不同，第三项修正是可以丢掉的。

(ii)数据分析

之前提到，高精度运算由于近似而产生的噪声掩盖了相对误差，导致无法算出结果。而这一计算结果上的缺陷恰好被该部分所用的算法弥补了。

下面做简要说明：

不妨把未取对数前的 Stirling 公式左右两侧的值分别用 L 和 R 代替。
则在简化运算公式后：

$$\ln L = \ln R$$

两侧的差(differ)：

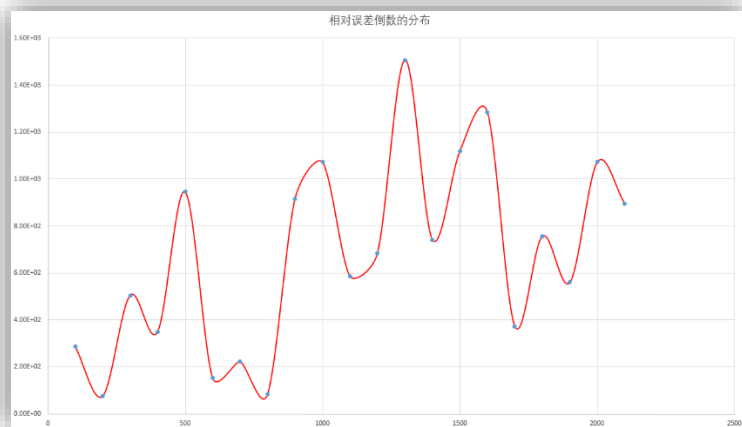
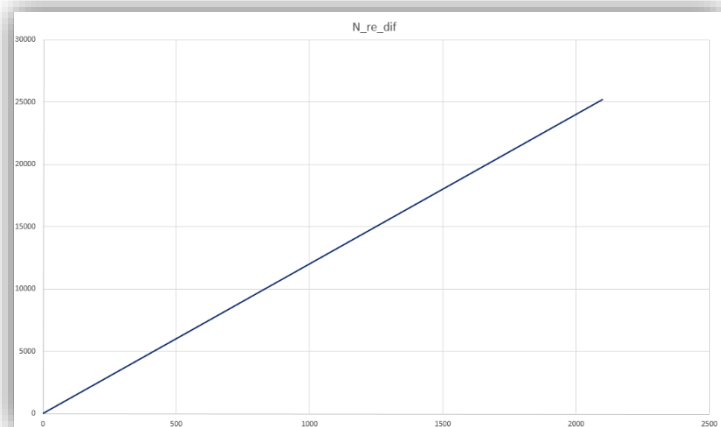
$$d = \ln L - \ln R = \ln \frac{L}{R}$$

对上式做变换得到：

$$\delta = \frac{L - R}{L} = 1 - e^{-d}$$

换言之，依靠取对数后两边的绝对误差 d ，就可以确定未取对数之前两侧的相对误差 δ 。

对比两种算法所得相同区间的图像(当然是取对数算法算得的值更准确)，就不难看出高精度算法的结果是不准确的。因此前文才说，那一结果是“显然是有问题的”。



六、总结

经过对 Stirling 公式的数值验证计算, 进一步强化了对大数处理的困难度的认识. 在计算过程中, 适当的近似是必要的, 但同时也可能引起一系列不利的影响. 在进行算法的构思之前, 应用数学或物理工具, 对问题本身做适当的简化, 或许会起到事半功倍的效果.

附录 1:

高精度算法源码:

```
/*
程序:斯特林公式分析程序

目的:验证斯特林公式,并计算不同数值下,方程的近似程度

功能:通过高精度运算计算方程结果

难点:1,高精度除法的定义
      2,自然对数的高幂次(1000 以上)运算
      3,N!的高精度运算(10000!左右)

日期:2016 年 9 月 7 日

预计完成时间:2016 年 9 月 12 日

预计编程时长:未知
*/

//=====
//#####
//#####
//=====

#include <stdio.h>
#include <math.h>
#define CON 100000 //定义数值位数单元常量,10,000!为 40000 位左右;100,000!为 500,000 位左右

//*****
//=====声明函数=====
//*****

int * add(int*, int*);//声明高精度加法运算
int * mult(int *, double);//声明高精度计算数乘法函数(大数乘小数)
int * dec(int *, int *);//声明高精度计算减法函数
int * div(int *, int *);//声明高精度计算除法函数

int * N_1(int);//声明 N!计算函数(阶乘运算)
int * N_C(int, int);//声明 N^C 计算函数(幂运算)
int * e_N(int);//声明 e^N 计算函数

void reput(int*);//定义数组清零函数
int pot(int *, int);//声明计算数值总位数的函数
void pri(int *, int);//声明数组数值输出函数

//*****
//=====定义全局变量数组,以存储各函数输出结果=====
//*****

int add_g[CON];
int mult_g[CON];
int dec_g[CON];
int div_g[CON];
int N_1_g[CON];
int N_C_g[CON];
int e_N_g[CON];

//*****
//=====主函数=====
//*****

int main(void)
{
    int n;//定义取数范围变量
    int d;//定义取数间隔变量
    int point;//定义取点个数变量
    char ch;//定义修正项取舍判断控制符
```

```

int sig;//定义保留的有效数字变量

int left[CON]);//定义 Stirling 公式左侧 N! 的存储数组,可容纳 1,000,000 位的数
int right1[CON]);//定义 Stirling 公式右侧近似值的存储数组 part1,可容纳 1,000,000 位的数
int right2[CON]);//定义 Stirling 公式右侧近似值的存储数组 part2,可容纳 1,000,000 位的数
double right3;//定义 Stirling 公式右侧近似值的存储数组 part3
int right12[CON]);//定义 Stirling 公式右侧近似值的存储数组 part3&part2,可容纳 1,000,000 位的数
int right123[CON]);//定义 Stirling 公式右侧近似值的存储数组总和,可容纳 1,000,000 位的数
int differ[CON];//定义 Stirling 公式两侧数值之差的数值存储数组,可容纳 1,000,000 位的数
int pec_dif[CON];//定义 Stirling 公式两侧相对误差的倒数数值存储数组,可容纳 1,000,000 位的数

int * cp_str;//定义数组拷贝指针

printf("请输入 N 的范围:1<N<");
scanf("%d", &n);
printf("请输入数据取点个数:");
scanf("%d", &point);
printf("请输入要保存的有效数字:");
scanf("%d", &sig);
printf("方程右侧是否引入最后一项修正项?(N/Y):");
scanf(" %c", &ch);
printf("\n=====");

printf("\nN          N!          Appro_Val          Differ          1/(Rela_Differ)\n\n");

d = n / point;    //计算取点间隔

//*****开始取点计算*****

for(int i=0; i<=n; i+=d)////////////////////
{
    //=====计算数值并拷贝至主函数=====

    //-----方程左侧-----

    cp_str = N_1(i); //初始化指针至 N! 存储数组的 头部

                                //printf("左侧赋值完毕\n");

    for (int j=0; j<CON; j++)
    {
        left[j] = *cp_str; //单个数组元素赋值
        cp_str++;          //指针移动
    }
    //实现 N!_数组拷贝,遍历一百万个数组元素

                                //printf("左侧计算完毕\n");

//printf("\n#####\n");
//pri(left, 10);              //N!计算数值探针
//printf("\n#####\n");

    printf("%d", sig, i);
    pri(left, sig);    //sig 要保留的有效数字
    printf(" ");

    //-----方程右侧-----

    cp_str = N_C(i, i);//初始化指针至 N^N 存储数组的 头部
    for (int j=0; j<CON; j++)
    {
        right1[j] = *cp_str;
        cp_str++;
    }
    //实现 N^N 存储数组拷贝

                                //printf("右侧 1 计算完毕\n");

//printf("\n#####\n");
//pri(right1, 10);            //N^N 计算数值探针
//printf("\n#####\n");

    cp_str = e_N(i);//初始化指针至 e^N 存储数组的 头部
    for (int j=0; j<CON; j++)
    {
        right2[j] = *cp_str;
        cp_str++;
    }
    //实现 e^N 存储数组拷贝

                                //printf("%d", *cp_str);

//printf("\n#####\n");
//pri(right2, 10);            //exp(N)计算数值探针
//printf("\n#####\n");

                                //printf("右侧 2 计算完毕\n");

    if('Y' == ch || 'y' == ch)
        right3 = sqrt(2 * M_PI * i);
    else
        right3 = 1.00;
                                //判断是否引入第三项修正

                                //printf("分步计算完毕\n");

//printf("\n#####\n");
//printf("%lf", right3);
//printf("\n#####\n");

    //-----右侧的数组的合成-----

    cp_str = div(right1, right2);//初始化指针至 p1*p2 结果 存储数组 头部

```

```

        for (int j=0; j<CON; j++)
        {
            right12[j] = *cp_str;
            cp_str++;
        } //实现 p1*p2 存储数组拷贝

//printf("\n#####\n");
//pri(right12, 10); //right12 计算数值探针
//printf("\n#####\n"); //printf("12 计算完毕\n");
cp_str = mult(right12, right3); //初始化指针至 全部右侧结果 存储数组 头部
for (int j=0; j<CON; j++)
{
    right123[j] = *cp_str;
    cp_str++;
} //实现 p1*p2*p3 存储数组拷贝 //printf("123 计算完毕\n");

pri(right123, sig);
printf(" ");

//=====比较两侧数值(作差)=====
cp_str = dec(left, right123); //初始化指针至 两侧差的结果 存储数组的 头部
for (int j=0; j<CON; j++)
{
    differ[j] = *cp_str;
    cp_str++;
} //实现 p1*p2*p3 存储数组拷贝

pri(differ, sig);
printf(" ");

//=====计算相对误差的倒数===== //printf("作差计算完毕\n");
cp_str = div(left, differ);
for (int j=0; j<CON; j++)
{
    pec_dif[j] = *cp_str;
    cp_str++;
}

pri(pec_dif, sig);
printf("\n\n"); //结果输出

//printf("误差计算完毕\n");

}

return 0;
}
//=====函数体定义=====
//=====

//1*****定义高精度加法运算*****
int * add(int * a, int * b)
{
    reput(add_g); //清零和数组

    int pot_a, pot_b, maxpot;

    pot_a = pot(a, CON);
    pot_b = pot(b, CON); //分别计算输入两个数的位数

    if (pot_a > pot_b)
        maxpot = pot_a;
    else
        maxpot = pot_b; //取两数位数的最大值

    for (int i=0; i<maxpot; i++)
    {
        add_g[i] = (*a) + (*b);
        a++;
        b++;
    } //对应元素相加, 直到最高位.

    for (int i=0; i<(maxpot+2); i++) //两个 maxpot 位的数字相加, 最高是 maxpot+1 位
    {
        if (add_g[i]>9)
        {
            add_g[i+1] += add_g[i] / 10;
            add_g[i] = add_g[i] % 10;
        } //进位处理, 取 maxpot+2 位以确保加和空间充足 (maxpot+1 也可)
    }

    return add_g; //返回结果数组的头地址
}

//2*****定义高精度计算乘法法则函数*****
int * mult(int * a, double b)
{
    reput(mult_g); //清零乘数组

    int pot_a;

```

```

pot_a = pot(a, CON);

for (int i = 0; i < pot_a; i++)
{
    mult_g[i] = (*a) * b;
    a++;
} //对每一位上对应元素值做关于 b 的乘法;

for (int i = 0; i < CON; i++) //不能确定 b 的位数, 因此遍历全数组空间进行进位
{
    if (mult_g[i] >= 10)
    {
        mult_g[i + 1] += mult_g[i] / 10;
        mult_g[i] %= 10;
    } //完成进位
}
return mult_g; //输出结果的头地址
}

//3*****定义高精度计算减法法则函数*****
int * dec(int * a, int * b)
{
    reput(dec_g); //清零数组

    int pot_a, pot_b, maxpot;

    pot_a = pot(a, CON);
    pot_b = pot(b, CON); //计算输入两数值的位数

    if (pot_a > pot_b)
        maxpot = pot_a;
    else
        maxpot = pot_b; //取位数的最大值

    for (int i = 0; i < maxpot; i++)
    {
        dec_g[i] = *a - *b;
        a++;
        b++;
    } //对应元素相减

    for (int i = 0; i < (maxpot - 1); i++) //借位运算只持续到第 maxpot-1 位, 最高位不再借位
    {
        if (dec_g[i] < 0)
        {
            dec_g[i + 1]--;
            dec_g[i] += 10;
        }
    } //完成借位运算

    return dec_g; //返回数组头地址
}

//4*****定义高精度计算除法法则函数*****
int * div(int * a, int * b)
{
    reput(div_g); //清零商数组

    int * cp1;
    int * cp2;
    int cp_a[CON];
    int cp_b[CON];

    cp1 = a;
    cp2 = b;

    for (int i = 0; i < CON; i++)
    {
        cp_a[i] = *cp1;
        cp_b[i] = *cp2;
        cp1++;
        cp2++;
    } //拷贝除法数组

    int de_dig;
    int pot_a, pot_b; //定义位数变量
    int borr; //定义进位数变量

    pot_a = pot(cp_a, CON);
    pot_b = pot(cp_b, CON); //求除数 b 与被除数 a 的位数

    //printf("%d %d \n", pot_a, pot_b);

    while ((pot_a >= pot_b) & pot_b != 0)
    {
        //printf("%d\n", cp_a[2]);

        de_dig = pot_a - pot_b; //计算两个数的位差

        cp_a[pot_a - 1] += (cp_a[pot_a] * 10); //最高位的上一位向最高位进 10
        //cp_a[pot_a] = 0;

        //printf("\n%d\n", cp_a[pot_a]);

        do
        {
            for (int i = 0; i < pot_b; i++)

```



```

        cp_a[de_dig+i] -= cp_b[i]; //对应位相减

        for(int i=0; i<pot_b-1; i++)
            if(cp_a[de_dig+i]<0)
            {
                borr = -(cp_a[de_dig+i]/10)+1;

                cp_a[de_dig+i] += borr * 10;
                cp_a[de_dig+i+1] -= borr;
            } //借位运算

        div_g[de_dig]++;

        //printf("%d\n", cp_a[pot_a-1]);

    }while(cp_a[pot_a-1]>=0); //输出为负(多减一次)的结果

    //printf("bit_over\n");

    for(int i=0; i<pot_b; i++)
        cp_a[de_dig+i] += cp_b[i]; //对应位相加

    for(int i=0; i<pot_b-1; i++)
        if(cp_a[de_dig+i]>9)
        {
            cp_a[de_dig+i+1] += cp_a[de_dig+i] / 10;
            cp_a[de_dig+i] %= 10;
        } //进位运算
    div_g[de_dig]--; //撤回一次作差操作

    pot_a--;

    }
    return div_g; //输出数据头地址
}

//5*****定义N!计算函数*****
int * N_1(int num)
{
    reput(N_1_g); //清零阶乘数组

    int dig, temp;
    int carry;

    N_1_g[0] = 1;
    dig = 1; //初始化:数字为1,只有一位.

    for (int i=2; i<=num; i++) //从2到N进行阶乘
    {
        carry = 0;
        for(int j=1; j<=dig; j++)
        {
            temp = N_1_g[j-1] * i + carry;

            N_1_g[j-1] = temp % 10;
            carry = temp / 10; //小于10的部分写进本位,大于的部分写入carry中
        }
        //在旧位数上进行运算

        while(carry) //当旧位数全部赋值完毕,而carry不为0,则创建新位
        {
            dig++;
            N_1_g[dig-1] = carry % 10;
            carry /= 10;
        }
        //数据进位完毕,进入下一个数的乘法循环
    }

    return N_1_g;
}

//6*****定义N^C计算函数*****
int * N_C(int cir, int num)
{
    reput(N_C_g); // 清零幂运算数组

    int dig, temp;
    int carry;

    N_C_g[0] = 1;
    dig = 1; //初始化:数值为1,位数为1.

    for (int i=1; i<=cir; i++) //控制进行乘法的次数(幂次)
    {
        carry = 0;
        for(int j=1; j<=dig; j++)
        {
            temp = N_C_g[j-1] * num + carry; //乘法&进位运算 同步进行

            N_C_g[j-1] = temp % 10;
            carry = temp / 10;
        }
        //在旧位数上进行运算

        while(carry) //同阶乘的拆解
        {

```

```

        dig++;
        N_C_g[dig-1] = carry % 10;
        carry /= 10;
    }
    //如果需要,则创建新位数

}

return N_C_g;
}

//*****定义 e^N 计算函数*****
int * e_N(int n)
{
    reinit(e_N_g); //清零 exp 数组

    //*****N 较小(小于 700)时直接求算*****

    if(n <= 700)
    {
        double res;
        int i = 0;

        res = exp(n); //直接计算出结果存入 res 中
        //printf("%lf", res);

        while(res >= 1.0) //将 res 中的值写入数组
        {
            e_N_g[i] = (int)(fmod(res, 10)); //对 res 取余,并强制转换位整型
            //printf("%d", (int)(fmod(res, 10)));

            res /= 10;
            i++;
        }
    }

    //*****如果 N 太大(大于 700),则采用 Taylor 展开求解*****

    else
    {
        int elem[CON];
        int x_n[CON];
        int n_2[CON];
        int * tep; //创建拷贝指针
        int j = 1; //创建 Taylor 展开项数变量

        elem[0] = 1;
        e_N_g[0] = 1; //准备 Taylor 展开,加和初始化

        //printf("\n\n!!!!!!\n");
        //pri(e_N_g, 6); //初始化位置探针
        //printf("\n!!!!!!\n");

        while(pot(elem, CON) != 0) //判断 elem 是否收敛至小于 1,以判断是否继续加和
        {
            tep = N_C(j, n);
            for(int k=0; k<CON; k++)
            {
                x_n[k] = *tep;
                tep++;
            } //拷贝 n^j 数值数组

            tep = N_1(j);
            for(int k=0; k<CON; k++)
            {
                n_2[k] = *tep;
                tep++;
            } //拷贝 j! 数值数组

            tep = div(x_n, n_2); //计算 n^j/j! 的大小
            for(int i=0; i<CON; i++)
            {
                elem[i] = *tep; //将新值写入 elem
                tep++;
            } //计算单个加和项(即 elem)的数值

            //pri(elem, 5);
            //printf("\n"); //收敛探针
            //printf("%d\n", j);

            j++;

            for(int i=0; i<CON; i++)
                e_N_g[i] += elem[i];
        } //while 结束

        for(int i=0; i<CON-1; i++)
        {
            e_N_g[i+1] += e_N_g[i] / 10;
            e_N_g[i] %= 10;
        } //else 结束

        return e_N_g;
    }
}

```

```
//8*****定义计算数值总位数的函数*****
```

```
int pot(int * p, int len)
{
    int * cp_str;
    int dig;

    dig = 0;

    cp_str = p + len - 1;    //移动指针至数组尾部

    for (int j=0; j<len; j++)
    {
        if (*cp_str)        //由尾到头(由高位到低位)一次判断,
        {
            dig = len - j;    //遇到非零元则退出停止循环,并记录此时位数
            break;
        }
        cp_str--;
    }

    return dig;              //返回位数
}
```

```
//9*****定义数组数值输出函数*****
```

```
void prl(int * p, int sig)
{
    int * cp_str;
    int poe_out;
    int pot_p;

    pot_p = pot(p, CON);

    if((pot_p-sig) <= 0)
        poe_out = 0;
    else
        poe_out = pot_p - sig; //判断有效数字是否大于原数值位数

    if(pot_p==0)
        pot_p = 1; //防止指针溢出

    cp_str = p + (pot_p-1); //初始化指针至 输出数组尾部

    for (int j=pot_p; j>poe_out; j--)
    {
        printf("%d", *cp_str);    //输出保留的有效数字
        cp_str--;
    }

    printf("E%d", poe_out); //输出幂次
}
```

```
//10*****定义数组归零函数*****
```

```
void reput(int * a)
{
    for(int i=0; i<CON; i++)
    {
        *a = 0;

        a++;
    }
    //将输入的数组归零
}
```

```
//=====
//*****
//*****
//=====
```

/*

总结:1, 指针的应用在 C 语言中至关重要. 这次编程, 由于对指正部分知识不熟悉, 在函数间传指针过程中遇到很多困难. 最后不得不放弃函数传指, 改用全局变量. 计算效率大大降低. 今后还需要补习指针的相关知识.
2, e^N 计算中用到了 Taylor 展开. 加和必须在 elem 计算之后立即进行, 否则内存溢出. 原因未知!
3, 除法计算的定义花费了非常多的时间, 主要是因为对传指针知识的生疏, 导致在计算除法函数内部, 不得不重新定义减法, 使代码趋于冗长.

时间:

2016 年 6 月 10 号 完成
总计编程时长:22 小时左右

运行结果:

在 Linux(Ubuntu) GCC64 位编译器下, 运行结果(最大值 1000, 取点数 50, 保留 6 位有效数字, 考虑右侧修正)

请输入 N 的范围:1<N<1000

请输入数据取点个数:50

请输入要保存的有效数字:6

方程右侧是否引入最后一项修正项?(N/Y):y

```
//略
```

计算完成耗时:46min

参考部分:

阶乘(N_1)和大数幂运算(N_C)部分是在网络上参考相关资源后编成

*/

附录 2:

取对算法源码:

```
/*
程序:取对数后_斯特林公式_分析程序

目的:验证取对数后斯特林公式,并计算不同数值下,方程的近似程度

功能:用 log 函数计算相关数值

难点:无

日期:2016 年 9 月 11 日

预计完成时间:2016 年 9 月 11 日

预计编程时长:40min
*/

#include <stdio.h>
#include <math.h>

int main(void)
{
    double left; //定义左侧数值储存变量
    double right; //定义右侧数值储存变量
    double differ; //定义差值
    double re_dif; //定义相对误差倒数

    int n; //定义取值范围
    int dis; //定义取值间距
    int point; //定义取值个数
    char jud; //定义第三项修正判断符

    printf("\n=====\\n");
    printf("*****lnN!=NlnN+N 验证*****\\n");
    printf("=====\\n");

    //程序分割线

    printf("取值范围 1<N<");
    scanf("%d", &n);
    printf("取点个数:");
    scanf("%d", &point);
    printf("是否考虑右侧第三项(Y/N):");
    scanf(" %c", &jud);

    //设置输入参数

    printf("\nN          lnN!          Approve          differ          1/RE_dif\\n");
    printf("-----\\n\\n");

    //表头

    dis = n / point; //计算取点间隔

    for(int i=0; i<=n; i+=dis)
    {
        if(i==0)
        {
            left = 0;
            right = 0;
            differ = 0;
            re_dif = 1;
        }
        else
        {
            left = 0.00; //初始化方程左侧

            for(int j=1; j<=i; j++)
                left += log(j); //计算 lnN!

            if('Y' == jud || 'y' == jud)
                right = (i * log(i)) - i + (0.500 * log(2 * M_PI * i));
            else
                right = (i * log(i)) - i; //计算方程右侧

            differ = left - right; // 计算左右差值

            re_dif = left / differ; // 计算相对误差的倒数
        }

        printf("\\n\\n%d          %lf          %lf          %lf          %lf", i, left, right, differ, re_dif);
    }
}
```

```
printf("\n\n\n");
printf("Program Complete!!\n\n");
return 0;
}

*
总结:
    本程序相对简单,只需掌握 math.h 中 log 的相关用法即可迅速完成编程.

时间:
    完成日期:2016 年 9 月 11 日
    耗时:45min 左右
结果:
    在 Linux(Ubuntu) GCC64 位编译环境下的结果:

%略%

/
```

附录 3:

Stirling 公式的证明:

$$\text{令 } a_n = \frac{n!}{n^{n+\frac{1}{2}} e^{-n}}$$

$$\text{则 } \frac{a_n}{a_{n+1}} = \frac{(n+1)^{n+\frac{3}{2}}}{n^{n+\frac{1}{2}}(n+1)e}$$

$$= \frac{(n+1)^{n+\frac{1}{2}}}{n^{n+\frac{1}{2}}e}$$

$$= \left(1 + \frac{1}{n}\right)^n \left(1 + \frac{1}{n}\right)^{\frac{1}{2}} \frac{1}{e}$$

所以 $\frac{a_n}{a_{n+1}} > 1$ 即 $a_n > a_{n+1}$ ，即单调递减，又由积分放缩法有 $\ln n! > \left(n + \frac{1}{2}\right) \ln n - n$

即 $n! > n^{n+\frac{1}{2}}e^{-n}$, 即 $a_n > 1$

由单调有界定理 a_n 的极限存在,

设 $A = \lim_{n \rightarrow +\infty} a_n$

$$A = \lim_{n \rightarrow +\infty} \frac{n!}{n^{n+\frac{1}{2}} e^{-n}}$$

利用Wallis公式, $\frac{\pi}{2} = \lim_{n \rightarrow +\infty} \frac{\left[\frac{(2n)!!}{(2n-1)!!} \right]^2}{2n+1}$

$$\begin{aligned} \frac{\pi}{2} &= \lim_{x \rightarrow +\infty} \frac{\left[\frac{(2n)!!}{(2n-1)!!} \right]^2}{2n+1} \\ &= \lim_{x \rightarrow +\infty} \frac{\left[\frac{(2n+1)!!}{(2n)!} \right]^2}{2n+1} \\ &= \lim_{x \rightarrow +\infty} \frac{2^{2n} \left[\frac{(n!)^2}{(2n)!} \right]^2}{2n+1} \\ &= \lim_{x \rightarrow +\infty} \frac{2^{2n} \left[\frac{(A n^{\frac{n+1}{2}} e^{-n})^2}{A(2n)^{2n-\frac{1}{2}} e^{-2n}} \right]^2}{2n+1} \\ &= \lim_{x \rightarrow +\infty} \frac{2^{2n} \left(2^{-2n-\frac{1}{2}} A \sqrt{n} \right)^2}{2n+1} \\ &= \lim_{x \rightarrow +\infty} \frac{2^{2n} A^2 2^{-4n-1} e n}{2n+1} \\ &= \frac{A^2}{4} \end{aligned}$$

所以 $A = \sqrt{2\pi}$

$$\lim_{n \rightarrow +\infty} \frac{n!}{n^{n+\frac{1}{2}} e^{-n}} = \sqrt{2\pi}$$

即 $\lim_{n \rightarrow +\infty} \frac{\sqrt{2\pi n} n^n e^{-n}}{n!} = 1$

证明参考： 百度百科